# L'Imagerie par Résonance Magnétique nucléaire

Problèmes mathématiques et numériques

G. Caloz, P. Boissoles <sup>1</sup> S. Balac <sup>2</sup>

<sup>1</sup>IRMAR, UMR 6625 Université de Rennes 1

<sup>2</sup>Centre de Mathématiques INSA de Lyon

23 juin 2005 / Séminaire d'analyse numérique, Nantes





# Plan de l'exposé

- Introduction
  - Présentation générale
  - Pour la petite histoire
- 2 Le principe de l'IRM
  - La RMN
  - La localisation du signal les gradients
- Quelques applications
  - Effet d'un champ magnétique additionnel
  - Problèmes de la magnétostatique
  - Phénomènes d'échauffement





#### Collaboration

C'est une collaboration avec le LRMBM (Laboratoire de Résonance Magnétique en Biologie et Médecine) de l'Université de Rennes 1 : J.D. De Certaines, G. Cathelineau, H. Boukhil,...

Comment interpréter les images obtenues par les imageurs?

- Modélisation du processus de construction des images
- Algorithmes de construction
- Construction numérique des images pour y insérer de l'information





#### Un premier problème

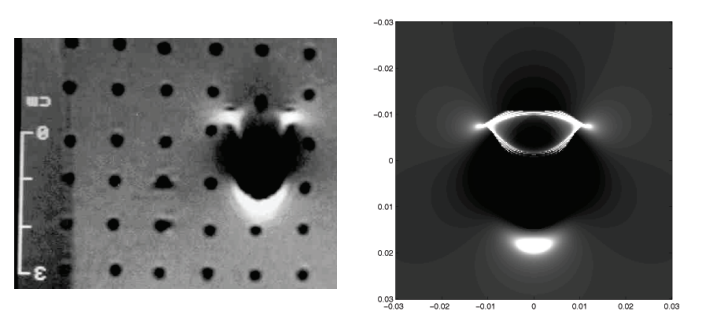


Fig.: Une sphère : image expérimentale (gauche) et image calculée (droite)



# Des champs magnétiques à étudier!





Fig.: Imageur



#### Plus précisément!

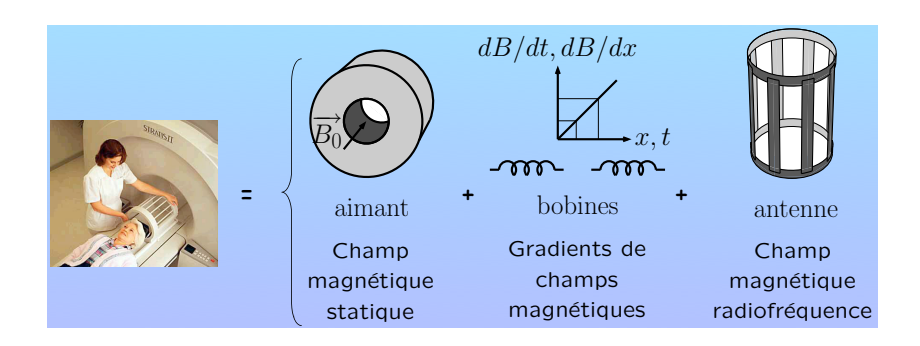


Fig.: Schéma de principe



#### Champ $B_0$ statique

Les noyaux atomiques placés dans un champ magnétique  $B_0$ , stimulés par une impulsion radio fréquence (RF pulse)  $B_1$ , ré-émettent une partie de l'énergie absorbée sous forme d'un signal radio. C'est la **Résonance Magnétique Nucléaire** (**RMN**). Le signal émis est le signal RMN.

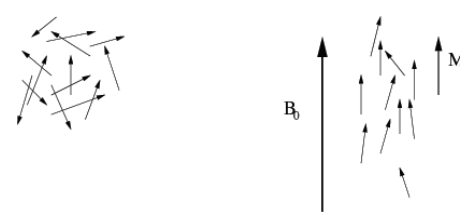


Fig.: Échantillon placé dans un champ  $B_{\mathbf{0}}(\simeq$  1 Tesla) ; magnétisation macroscopique M



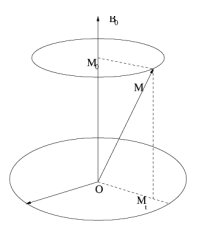


Fig.: Dipôle soumis à un champ radio-fréquence  $B_1$  (42.6Mhz)

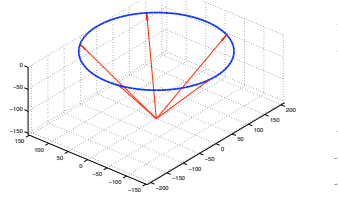
La fréquence des impulsions est donnée par la relation de Larmor (les noyaux résonent)

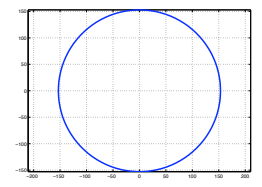
$$\nu_{L} = \frac{\gamma}{2\pi} B,\tag{1}$$

où

- B est le module du champ magnétique appliqué,
- $\gamma$  est le rapport gyromagnétique, qui est caractéristique de l'espèce étudiée.







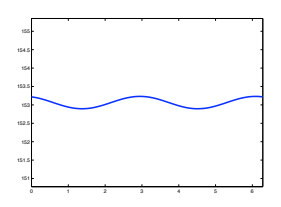
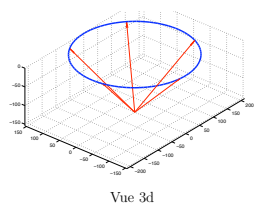
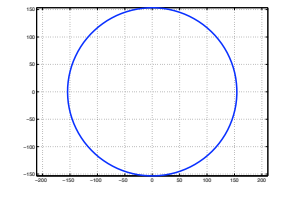


Fig.: Champ radio-fréquence à R/4









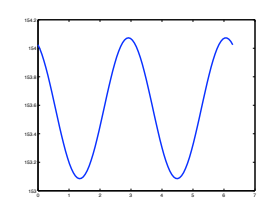
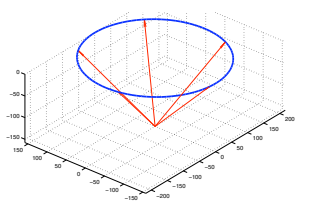
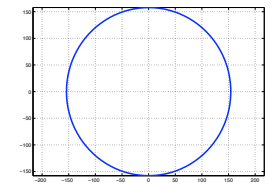


Fig.: Champ radio-fréquence à R/2









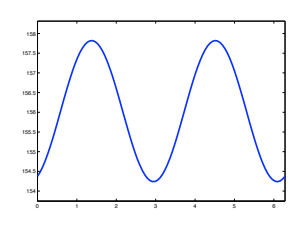
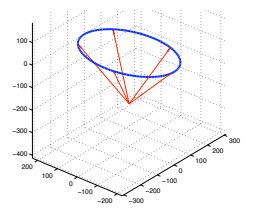
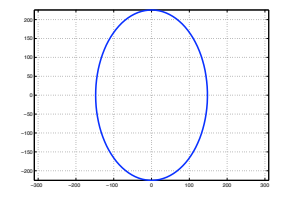


Fig.: Champ radio-fréquence à 3R/4









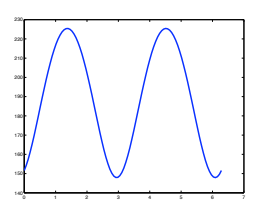


Fig.: Champ radio-fréquence à 9R/10





#### Commentaires

- La relation de Larmor (1) donne aussi la fréquence du signal RMN émis.
- Pour des raisons de sensibilité, l'IRM concerne l'étude des noyaux d'hydrogène.
- Nous obtenons des informations concernant la densité de noyaux et la composition chimique.

Difficulté : Le signal provient de tout l'échantillon!

- Il faut localiser par une technique de codage spatial ⇒ IRM.
- Utilisation de gradients de champs magnétiques. La relation de Larmor est de la forme

$$u_{L} = \frac{\gamma}{2\pi} (B + \Delta B).$$



#### Les gradients de champ

Un gradient est un **champ magnétique** appliqué dans la même direction que le champ statique  $B_0$  mais **avec un module qui dépend linéairement de la position**.

Le gradient est beaucoup plus faible que  $B_{\rm o}$ , environ  $10^4$  fois. Nous représentons le gradient sous la forme

$$G(P) = g(r \cdot n)z$$

- g représente l'intensité du gradient,
- n sa direction,
- $\bullet$  r = OP,
- z est la direction de  $B_0$ .



#### Sélection du plan de coupe

Pour l'image d'un plan  $\Pi_s$  à travers l'échantillon :  $n_s$  le vecteur normal unité au plan et C le point appartenant à  $\Pi_s$  tel que  $OC = c n_s$ .

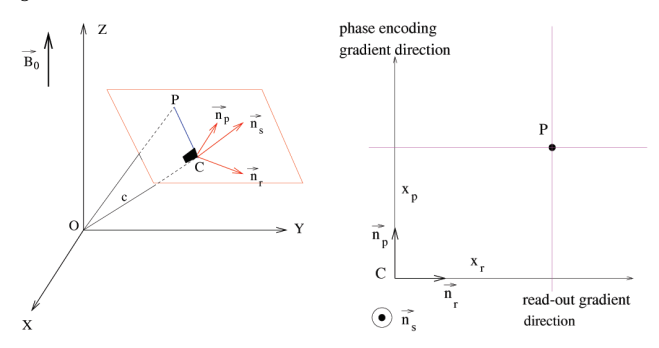


FIG.: Sélection d'une coupe de l'échantillon.



#### Plan de coupe

Un gradient  $G_s$  appelé gradient de sélection de coupe est appliqué simultanément à l'impulsion RF  $B_1$ . Nous avons

$$G_s(P) = g_{\mathtt{S}}(OP \cdot n_s)z = g_{\mathtt{S}}\left((OC + CP) \cdot n_s
ight)z = g_{\mathtt{S}} cz.$$

Tous les noyaux d'une espèce donnée (hydrogène) dans le plan  $\Pi_s$  ont la même fréquence de résonance donnée par

$$u_{\mathsf{S}} = rac{\gamma}{2\pi} |B_{\mathsf{O}} + G_{s}| = rac{\gamma}{2\pi} (B_{\mathsf{O}} + g_{\mathsf{S}}c).$$

Hors du plan  $\Pi_s$  les noyaux ont une fréquence de Larmor qui diffère de  $\nu_s$ .

Lorsque qu'une impulsion RF  $B_1$  est appliquée à la fréquence  $\nu_1 = \nu_s$ , seuls les noyaux de  $\Pi_s$  résonent.



# Codage dans le plan de coupe

Gradient de lecture (read-out)

Deux autres gradients sont appliqués pour localiser à l'intérieur du plan  $\Pi_s$ .

Le **Gradient de lecture**(read-out)  $G_r$  est appliqué pendant la réception du signal RMN.

$$G_r(P) = g_r(OP \cdot n_r)z = g_r(CP \cdot n_r)z = g_r \mathsf{X}_r z.$$

La fréquence du signal RMN est alors donnée par

$$u = \frac{\gamma}{2\pi}|B_0 + G_r| = \frac{\gamma}{2\pi}(B_0 + g_r x_r).$$





#### Gradient de phase (phase-encoding)

Le gradient  $G_p$  est appliqué pendant une brève période  $T_p$  avant la réception du signal.

$$G_p( extstyle{P}) = g_p(OP \cdot n_p)z = g_p(CP \cdot n_p)z = g_p extstyle{X}_p extstyle{z}.$$

La phase du signal est alors donnée par

$$\phi = 2\pi\nu_L(P)T_p = \gamma|B_0 + G_p|T_p = \gamma(B_0 + g_p x_p)T_p.$$

Ce codage spatial en fréquence et en phase permet, via une transformation de Fourier du signal, d'obtenir une image de la coupe  $\Pi_{\mathcal{S}}$ .





#### Densité des noyaux d'hydrogène

On néglige la relaxation : le signal admet la représentation

$$S(t_r,g_p) = \int_{\mathbb{R}^2} \rho(x_r,x_p) \ \text{exp} \left( i \, \gamma(g_r x_r t_r + g_p x_p T_p) \right) \, dx_r dx_p, \quad \text{(2)}$$

où la fonction  $\rho$  est la densité de noyaux dans la coupe  $\Pi_s$ . Nous effectuons la transformée de Fourier du signal, appelée **2D-FT** en IRM. Soit le changement de variables

$$\psi(\mathbf{x}_{\mathbf{r}}, \mathbf{x}_{\mathbf{p}}) \equiv (\tau_{\mathbf{1}}, \tau_{\mathbf{2}}) = (-\frac{\gamma}{2\pi} \mathbf{g}_{\mathbf{r}} \mathbf{x}_{\mathbf{r}}, -\frac{\gamma}{2\pi} \mathbf{T}_{\mathbf{p}} \mathbf{x}_{\mathbf{p}}).$$

Soit J le jacobien de l'inverse,  $J=(\gamma^2 T_p g_r)^{-1}$ ,  $\gamma=\gamma/2\pi$ . Alors

$$S(t_r,g_p) = \int_{\mathbb{R}^2} A(\tau_1,\tau_2) \ \text{exp}(-2\pi \mathrm{i}(\tau_1 t_r + \tau_2 g_p)) \, \mathrm{d}\tau_1 \mathrm{d}\tau_2,$$

avec  $A(\tau_1, \tau_2) = \rho(\psi^{-1}(\tau_1, \tau_2))J$ . C'est la transformée de Fourier inverse de A.



Soit  $I(\tau_1, \tau_2)$  l'intensité au point  $(\tau_1, \tau_2)$  de l'image (pixel de l'image). Nous prenons la transformée de Fourier

$$I(\tau_1,\tau_2) = \mathcal{F}[S(t_r,g_p)] = A(\tau_1,\tau_2) = \frac{1}{\gamma^2 T_p g_r} \rho(-\frac{\tau_1}{\gamma g_r}, -\frac{\tau_2}{\gamma T_p}).$$

La transformée du signal collecté conduit à la représentation de la densité  $\rho$  dans le plan  $\Pi_s$ .

**Note :** En pratique pour le codage en phase des intervalles de temps constants  $T_p$  sont utilisés. Un gradient de phase  $g_p$  est utilisé pour le codage. Le signal ne peut être obtenu que pour une nombre fini de valeurs de  $g_p$ . Une transformée de Fourier discrète est faite pour obtenir l'image.





#### Champ magnétique additionnel

**Question :** Comment des inhomogénéités induisent-elles des distorsions ?

On rajoute un champ perturbateur. Le champ magnétique total est alors donné par

$$B(P) = B_0 + G_s(P) + B'(P).$$

**Hypothèse :** Les inhomogénéités sont du même ordre que les gradients et beaucoup plus faibles que le champ  $B_0$ . Il est raisonnable de faire l'approximation

$$B(P)\approx B_0+G_s(P)+B_z'(P),$$

où  $B_z'$  représente la composante de l'inhomogénéité le long de la direction z.



#### Sélection de la coupe

La fréquence de Larmor  $\nu_{\rm L}$  donnée par (1) est approchée par

$$\nu_L(P) = \frac{\gamma}{2\pi}(B_0 + G_s(P) + B_z'(P)). \label{eq:nu_L}$$

Pour choisir la coupe  $\Pi_s$  l'impulsion RF  $B_1$  est appliquée à la fréquence  $\nu_1$  donnée par

$$\nu_1 = \frac{\gamma}{2\pi} (B_0 + g_s c).$$

Les noyaux résonants sont ceux pour lesquels la fréquence de Larmor  $\nu_{\rm L}$  est égale à la fréquence  $\nu_{\rm 1}$ .

Ils ne sont plus sur le plan  $\Pi_s,$  mais sur l'ensemble des points P tels que

$$G_s(P) + B'_z(P) = g_s c. (3)$$

Nous notons (x, y, z) les coordonnées de P dans le système du laboratoire et par  $(n_1, n_2, n_3)$  les composantes du vecteur  $n_s$ . Soit  $c'(P) = OP \cdot n_s = n_1x + n_2y + n_3z$ . Alors nous avons

$$G_s(P) = g_s c'(P) = g_s(n_1 x + n_2 y + n_3 z).$$

L'équation (3) prend la forme

$$n_1x + n_2y + n_3z + \frac{B'_z(x, y, z)}{g_s} = c.$$
 (4)

On peut écrire l'équation (4) dans le système de coordonnées  $\mathcal{R}_{c}=(C,n_{r},n_{p},n_{s})$ . Nous avons

$$x_s + \frac{B'_z(x_r, x_p, x_s)}{g_s} = 0,$$
 (5)

où  $(x_r,x_p,x_s)$  sont les coordonnées de P dans  $\mathcal{R}_c.$ 



#### Exemple sur la sphère :

Le plan de coupe est en fait la surface d'équation (4).

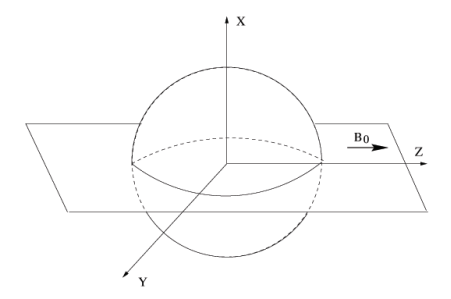


Fig.: Coupe à imager.

Nous considérons le cas particulier d'une sphère métallique (l'implant) plongée dans une substance diamagnétique (les tissus biologiques) et soumise à un champ statique  $B_0$ :



- rayon de la sphère = 1 cm
- susceptibilité magnétique = $\chi_{\rm m}=10^{-3}$ .
- intensité de la densité de flux = B<sub>0</sub> = 1 Tesla
- l'intensité du gradient de coupe = g = 10<sup>-2</sup> Tesla par mètre.
- inhomogénéités de champ magnétique sont dues au champ B' induit par la sphère.
- La coupe est représentée en 3cm x 3cm.





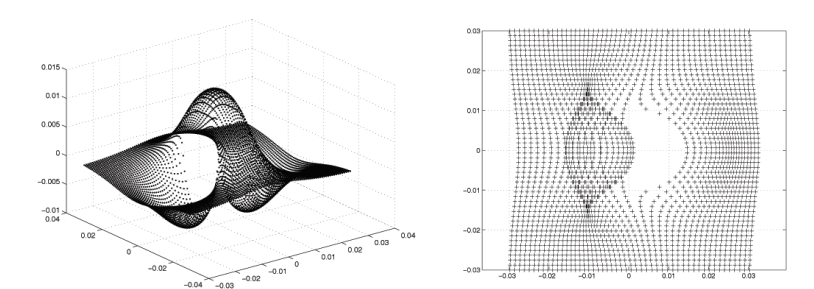


Fig.: (a) Distorsion de la coupe à imager (en mètre) et (b) distorsion géométrique.



# Codage dans le plan de coupe

Par la relation de Larmor (1) nous avons

$$\nu = \frac{\gamma}{2\pi}B(P) = \frac{\gamma}{2\pi}(B_0 + g_rx_r + B_z'(x_r, x_p, x_s)).$$

De façon analogue la phase du signal RMN prend la forme

$$\phi(P) = 2\pi\nu_L(P)T_p = \gamma B(P)T_p = \gamma (B_0 + g_p x_p + B_z'(x_r, x_p, x_s))T_p. \label{eq:posterior}$$





#### Nota Bene:

L'effet du shift de la phase dépend de **la séquence IRM choisie**. Pour la séquence Spin-Echo, le shift de la phase dû aux inhomogénéités est compensé lors de la réception du signal. Au contraire pour la séquence Gradient-Echo, le shift est conservé.

C'est pourquoi nous introduisons le paramètre  $k_d$  valant 0 ou 1. Nous devons prendre en compte que la perturbation existe non seulement pendant le codage en phase  $T_p$  mais encore pendant le temps de réception du signal  $T_E$ . La phase du signal est donc de la forme

$$\phi(P) = \gamma(B_0 + g_p x_p T_p + k_d B_z'(x_r, x_p, x_s) T_E).$$



# Transformée de Fourier du signal perturbé

En présence d'un champ perturbateur B', le signal IRM admet la représentation

$$\begin{split} S(t_r,g_p) &= \int_{\mathbb{R}^2} \rho(x_r,x_p,x_s(x_r,x_p)) \\ &\times & \text{exp} \left( i \, \gamma(g_r x_r + B_z'(x_r,x_p,x_s(x_r,x_p))) t_r \right) \\ &\times & \text{exp} \left( i \, \gamma(g_p x_p T_p + k_d B_z'(x_r,x_p,x_s(x_r,x_p)) T_E) \right) \, dx_r dx_p, \end{split}$$

où x<sub>s</sub> est une solution de l'équation non linéaire

$$x_s + \frac{B'_z(x_r, x_p, x_s)}{g_s} = 0.$$

Nous prenons la transformée de Fourier de S pour obtenir l'intensité.



Ainsi l'intensité au pixel  $(\tau_1, \tau_2)$  de l'image est donnée par

$$I(\tau_1,\tau_2) = \sum_{\substack{(x_r,x_p,x_s) \\ \text{solution de (7)}}} \rho(x_r,x_p,x_s) \exp\left(i\,\gamma k_d B_z'(x_r,x_p,x_s) T_E\right)$$

$$\times \frac{1}{|1 + \frac{1}{g_r} \frac{\partial}{\partial x_r} B_z'(x_r, x_p, x_s)|}, \tag{6}$$

οù

$$\begin{cases} x_r + \frac{B'_z(x_r, x_p, x_s)}{g_r} = \tau_1, \\ x_p = \tau_2, \\ x_s + \frac{B'_z(x_r, x_p, x_s)}{g_s} = 0. \end{cases}$$
 (7)

Dans (6) nous avons inclus le cas où (7) a plusieurs solutions. Nous avons omis un coefficient d'échelle.

#### Largeur de coupe

Nous avons supposé que l'impulsion RF  $B_1$  est émise à la fréquence unique  $\nu_1$ .

En pratique l'impulsion est émise avec une largeur de bande de la forme  $\nu_1 \pm \frac{1}{2} \Delta \nu_1$ . Le plan de coupe est transformé en une coupe d'épaisseur donnée. Par conséquent une couche d'épaisseur  $e_s$  autour de  $\Pi_s$  est imagée. On vérifie que

$$e_{s} = \frac{2\pi}{\gamma} \frac{\Delta \nu_{1}}{g_{s}}.$$

Pour prendre en compte l'épaisseur, nous rajoutons un terme de sommation sur l'épaisseur de la couche  $e_s$ .



#### Le signal est alors de la forme

$$\begin{split} S(t_l,g_p) &= \int_{-\frac{1}{2}e_s}^{\frac{1}{2}e_s} \int_{\mathbb{R}^2} \rho(x_r,x_p,x_s(x_r,x_p,\zeta)) \\ &\times \text{exp} \left( i \, \gamma(g_r x_r + B_z'(x_r,x_p,x_s(x_r,x_p,\zeta))) t_r \right) \\ &\times \text{exp} \left( i \, \gamma(g_p x_p T_p + k_d B_z'(x_r,x_p,x_s(x_r,x_p,\zeta)) T_E) \right) \, dx_r dx_p d\zeta \end{split}$$

où x<sub>s</sub> satisfait

$$x_s + rac{B'_z(x_r, x_p, x_s)}{g_s} = \zeta \qquad ext{ with } \zeta \in [-rac{1}{2}e_s, rac{1}{2}e_s].$$





Notre développement pour la transformée de Fourier du signal est analogue dans ce cas. Les expressions (6) et (7) deviennent

$$\begin{split} I(\tau_{1},\tau_{2}) &= \int_{-\frac{1}{2}e_{s}}^{\frac{1}{2}e_{s}} \sum_{\substack{(x_{r},x_{p},x_{s})\\ \text{solution of (9)}}} \rho(x_{r},x_{p},x_{s}) \exp\left(i\gamma k_{d}B'_{z}(x_{r},x_{p},x_{s})T_{E}\right) \\ &\times \frac{1}{|1+\frac{1}{g_{r}}\frac{\partial}{\partial x_{r}}B'_{z}(x_{r},x_{p},x_{s})|} d\zeta, \end{split} \tag{8}$$

où

$$\begin{cases} x_{r} + \frac{B'_{z}(x_{r}, x_{p}, x_{s})}{g_{r}} = \tau_{1}, \\ x_{p} = \tau_{2}, \\ x_{s} + \frac{B'_{z}(x_{r}, x_{p}, x_{s})}{g_{s}} = \zeta. \end{cases}$$
(9)

#### **Algorithmes**

Nous voulons calculer l'intensité de l'image I dans (8) pour le pixel  $(\tau_1, \tau_2)$  donné. L'intégrale est calculée avec une formule de quadrature de Gauss. Nous avons

$$I(\tau_1,\tau_2) = \int_{-\frac{1}{2}e_s}^{\frac{1}{2}e_s} A(\tau_1,\tau_2,\zeta) \, d\zeta \approx \frac{e_s}{2} \sum_{k=1}^{\mu_d} \omega_k A(\tau_1,\tau_2,u_k),$$

avec  $\omega_k \in \mathbb{R}$  les poids et  $u_k \in [-1,1]$  les nœuds.

La principale difficulté est de déterminer le(s) point(s)  $(x_r, x_p, x_c)$  dans l'échantillon qui sont représentés dans le pixel  $(\tau_1, \tau_2)$ . Il faut *résoudre* le système (9).



En combinant les première et troisième équations, le système peut être écrit sous la forme

$$\begin{cases} x_{r} + \frac{g_{s}}{g_{r}}(\zeta - x_{s}) &= \tau_{1}, \\ x_{p} &= \tau_{2}, \\ x_{s} + \frac{B'_{z}(x_{r}, x_{p}, x_{s})}{g_{s}} &= \zeta, \text{ où } \zeta \in [-\frac{1}{2}e_{s}, \frac{1}{2}e_{s}]. \end{cases}$$
(10)

Ainsi nous avons à résoudre le problème non linéaire : trouver  $x_s \in \mathbb{R}$  solution de

$$x_s + \frac{B_z'(x_r,x_p,x_s)}{g_s} = \zeta,$$

οù

$$\left\{ \begin{array}{lcl} x_r & = & \tau_1 + \frac{g_s}{g_r}(x_s - \zeta), \\ \\ x_p & = & \tau_2, \\ \\ \zeta & \in & [-\frac{1}{2}e_s, \frac{1}{2}e_s]. \end{array} \right.$$

Soit  $F: \mathbb{R} \longrightarrow \mathbb{R}$  définie par

$$x_s \longmapsto F(x_s) = (x_s - \zeta) + \frac{1}{g_s} B_z'(\tau_1 + \frac{g_s}{g_r}(x_s - \zeta), \tau_2, x_s),$$

où les paramètres  $g_s,g_r,g_p,\tau_1,\tau_2$  et  $\zeta$  sont fixés.

Alors résoudre le système (9) revient à trouver les zéros F.





# Algorithme 1

$$\begin{split} \text{For each pixel } &(\tau_1,\tau_2) \text{ do} \\ & \text{For } k=1,\dots,\mu_d \text{ do} \\ & \text{For each } x_s \text{ solution of } F(x_s)=0 \text{ do} \\ & \text{Set } x_r=\tau_1+\frac{g_s}{g_r}(x_s-\zeta) \text{ and } x_p=\tau_2 \\ & \text{Compute } \rho(x_r,x_p,x_s), \, B_z'(x_r,x_p,x_s) \text{ and} \\ & \frac{\partial}{\partial x_r} B_z'(x_r,x_p,x_s) \\ & \text{Set} \\ & I(\tau_1,\tau_2)=I(\tau_1,\tau_2)+\rho(x_r,x_p,x_s)\frac{\text{exp } (i\,\gamma k_d B_z'(x_r,x_p,x_s)T_E)}{|1+\frac{1}{g_r}\frac{\partial}{\partial x_r}B_z'(x_r,x_p,x_s)|} \end{split}$$

End do

End do

End do



- Nous avons mis en œuvre l'algorithme 1 dans le cas de la sphère où une expression analytique pour F est connue.
- Nous remarquons que la fonction F n'est pas nécessairement continue (ceci est dû au saut de B' à l'interface) et le nombre des zéros dépend des valeurs de τ<sub>1</sub>, τ<sub>2</sub> et ζ.

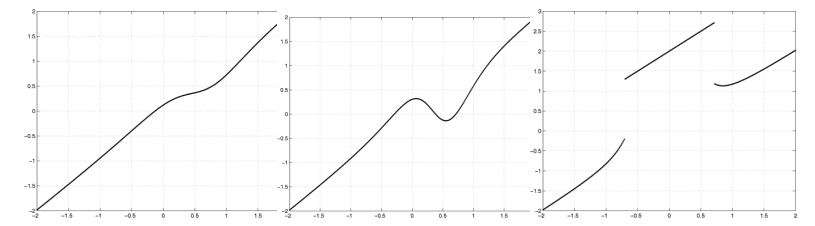


FIG.: Graphe de la fonction F dans le cas de la sphère. Les paramètres  $\tau_1, \tau_2$  et  $\zeta$  correspondent à un point éloigné (gauche), proche (centre) et intérieur (droite).



### Commentaires

- Le nombre de zéros varie de 0 à 3.
- Le comportement de F va donc fortement changer en fonction des paramètres  $g_s, g_r, g_p, \tau_1, \tau_2$  et  $\zeta$ . En pratique nous n'avons pas d'expressions analytiques pour B' et donc F ne peut être calculé que ponctuellement.
- Aucun code numérique basé sur l'algorithme 1 n'est possible.
- L'idée est de parcourir l'échantillon et de tester pour savoir si les noyaux d'un point donné  $(x_r, x_p, x_s)$  résonent ou non.
- Nous calculons le pixel de l'image où ce point est envoyé et nous ajoutons l'intensité correspondante.
- Nous sommes conduits à l'algorithme suivant.



# Algorithme 2

For  $(x_r, x_p, x_s) \in \mathbb{R}^3$  do :

Compute  $(\tau_1, \tau_2, \zeta)$  such that

$$\begin{cases} \tau_1 = x_r + \frac{B'_Z(x_r, x_p, x_s)}{g_r} \\ \tau_2 = x_p \end{cases}$$

$$\zeta = x_s + \frac{B'_Z(x_r, x_p, x_s)}{g_s}$$

If  $\zeta \in [-\frac{1}{2}e_s, \frac{1}{2}e_s]$  and  $(\tau_1, \tau_2)$  belongs to the image **then** 

$$I(\tau_1, \tau_2) = I(\tau_1, \tau_2) + \rho(x_r, x_p, x_s) \frac{\exp\left(i \gamma k_d B_Z'(x_r, x_p, x_s) T_E\right)}{|1 + \frac{1}{g_r} \frac{\partial}{\partial x_r} B_Z'(x_r, x_p, x_s)|}$$

End if

End do



### Remarques:

- En pratique un volume entourant l'objet est choisi. Ce volume est subdivisé en petits cubes.
- À l'intérieur de chaque cube un point  $(x_r, x_p, x_s)$  est choisi.
- Le principal désavantage de cette approche est la nécessité de parcourir beaucoup de points qui ne sont pas sur l'image.
- Toutefois nous pouvons nous limiter à un voisinage autour de l'objet à imager.
- L'algorithme 2 a été mis en œuvre pour nos calculs.



## Résultats numériques

Nous avons fait des calculs sur un implant dentaire.



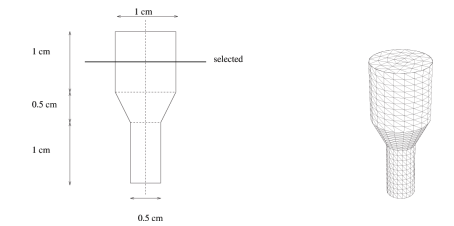


Fig.: Implant dentaire et maillage





## Résultats numériques

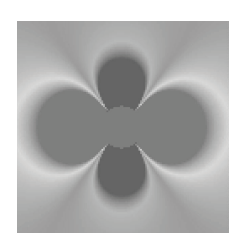






FIG.: Lignes de niveau de  $B_{\rm Z}'$ , images simulée et expérimentale obtenues par séquence Spin-Echo (SE 490/25). Le côté de la figure correspond à une longueur de 5 cm

### Données

- Implant : susceptibilité magnétique de 10<sup>-3</sup> usi
- B<sub>0</sub>: 0.5 Tesla.
- Le maillage a 1328 triangles.
- Coupe de 5 cm de large, parallèle au champ B<sub>0</sub>.
- Les gradients valent 10<sup>-2</sup> T/m.
- L'épaisseur de coupe est de 3 mm.

Pour obtenir l'image expérimentale correspondante, l'implant a été placé au centre d'une boîte contenant une substance diamagnétique, (*CuSO*<sub>4</sub> à la concentration de 0.6 g/l). La coupe a été enregistrée en utilisant une séquence de Spin-Echo avec un temps de répétition de 490 ms et un temps d'écho de 25 ms.





# Calcul du champ perturbateur

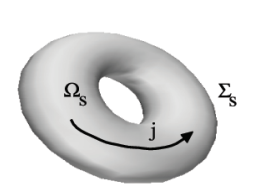
Comment calculer le champ magnétique induit par l'implant métallique ?  $\Omega$  est un ouvert borné de l'espace, de frontière  $\Sigma$ . L'implant  $\Omega$  est plongé dans un champ magnétique  $B_0$ . Soit  $B'=B-B_0$  alors le problème à résoudre est : trouver  $B'\in L^2(\mathbb{R}^3)^3$  tel que

$$\begin{cases} &\textit{div } B' = 0 \text{ dans } \mathbb{R}^3, \\ &\textit{rot } B' = 0 \text{ dans } \Omega \text{ et } \Omega', \\ &\left[ B' \wedge n \right] = \mu_0 \left( M \wedge n \right) \text{ à l'interface } \Sigma, \end{cases}$$

#### avec

- n normale unité extérieure à Σ,
- [·] le saut au travers de Σ.





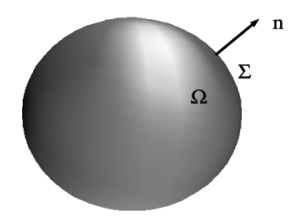


Fig.: Le problème de la magnétostatique

$$\begin{cases} \operatorname{div} \mu H &= 0 & \operatorname{dans} \Omega, \\ \operatorname{div} H &= 0 & \operatorname{dans} \Omega, \\ \mu H \big|_{\Omega} \cdot n &= H \big|_{\Omega} \cdot n & \operatorname{sur} \Sigma, \\ \operatorname{rot} H &= j & \operatorname{dans} \Omega_{S}, \\ \operatorname{rot} H &= o & \operatorname{dans} \Omega_{S}, \\ H \big|_{\Omega_{S}} \wedge n &= H \big|_{\Omega_{S}} \wedge n & \operatorname{sur} \Sigma_{S}, \end{cases}$$
(12)

#### lci

- n est la normale unité extérieure à Σ ou Σ<sub>s</sub>
- $H \mid_{\Omega}$  (resp.  $H \mid_{\Omega}$ ,  $H \mid_{\Omega_s}$ ,  $H \mid_{\Omega_s}$ ) dénote la restriction de H au domaine  $\Omega$  (resp.  $\Omega$ ,  $\Omega_s$ ,  $\Omega_s$ ).
- **N.B.** Comme H n'est pas à rotationnel nul dans  $\Omega_s$ , on ne peut pas introduire un potentiel scalaire comme inconnue dans tout l'espace.

Il est connu que pour résoudre le problème (12) avec un potentiel scalaire, on peut décomposer le problème : calcul du champ source et du champ induit  $H=H_s+H_m$ , voir Simkin - Trowbridge (1979).



### $H_s$ est solution de

$$\begin{cases} \operatorname{div} H_s &= 0 & \operatorname{dans} \mathbb{R}^3, \\ \operatorname{rot} H_s &= j & \operatorname{dans} \Omega_s, \\ \operatorname{rot} H_s &= o & \operatorname{dans} \mathbb{C}\Omega_s, \\ H_s \big|_{\Omega_s} \wedge n &= H_s \big|_{\Omega\Omega_s} \wedge n & \operatorname{sur} \Sigma_s, \end{cases}$$
(13)

 $H_m$  dû au matériau magnétique est solution de

$$\begin{cases} & \textit{rot } H_m & = \text{ o} & \text{dans } \mathbb{R}^3, \\ & \textit{div } H_m & = \text{ 0} & \text{dans } \Omega \text{ et } \Omega, \\ & \mu H_m \big|_{\Omega} \cdot n - H_m \big|_{\Omega} \cdot n & = (1 - \mu) H_s \cdot n & \text{sur } \Sigma. \end{cases}$$
 (14)



 $H_s$  est calculé par la formule de Biot Savart

$$H_s(x) = \frac{1}{4\pi} \int_{\Omega_s} \left( j(y) \wedge \frac{x-y}{|x-y|^3} \right) dy \qquad \forall x \in \Omega_s.$$
 (15)

On introduit le potentiel magnétique scalaire (RSP)  $\phi$  comme inconnue pour résoudre le problème (14). En effet  $H_m$  est irrotationnel dans tout l'espace. On réduit le problème à une inconnue scalaire  $\phi$ 

$$\begin{cases} \Delta \phi = 0 & \text{dans } \Omega \text{ et } \mathbb{C}\Omega, \\ \phi \text{ continu sur } \Sigma, \\ \mu \frac{\partial \phi}{\partial n} \Big|_{\Omega} - \frac{\partial \phi}{\partial n} \Big|_{\Omega} = (\mu - 1) g \quad \text{sur } \Sigma, \end{cases}$$
 (16)

avec  $g = H_s \cdot n$  donné.



- Le problème (16) est un problème classique de Laplace sur tout l'espace avec condition d'interface.
- A priori, on peut le résoudre avec plusieurs méthodes.
- Pour obtenir H, on somme  $H_m$  et  $H_s$ .
- Difficulté : en général, on a des mauvais résultats!

TAB.: H dans  $\Omega$  calculé par addition de  $H_s$  et  $H_m$  puis calculé analytiquement pour des valeurs de  $\mu$ .

	$\ oldsymbol{H}_s\ _2$		$\ oldsymbol{H}_s + oldsymbol{H}_m\ _2$	$\  \boldsymbol{H} \ _2$ exact	error (%
2	$0.795 \ 10^6$	$0.1929 \ 10^6$	0.6021 10 <sup>6</sup>	$0.5962\ 10^6$	0.97
10	0.795 10 <sup>6</sup>	0.5937 10 <sup>6</sup>	0.2013 10 <sup>6</sup>	0.1835 10 <sup>6</sup>	9.2
10 <sup>2</sup>	0.795 10 <sup>6</sup>	0.7493 10 <sup>6</sup>	0.4568 10 <sup>5</sup>	0.2316 10 <sup>5</sup>	65
10 <sup>3</sup>	0.795 10 <sup>6</sup>	0.7695 10 <sup>6</sup>	0.2551 10 <sup>5</sup>	0.2378 10 <sup>4</sup>	166
10 <sup>4</sup>	0.795 10 <sup>6</sup>	0.7716 10 <sup>6</sup>	$0.2343 \ 10^5$	0.2384 10 <sup>3</sup>	190

## Formule pour le potentiel

Soit G la fonction de Green donnée par

$$G(x,y) = \frac{1}{4\pi|x-y|}$$
 pour  $x,y \in \mathbb{R}^3, x \neq y$ ,

et  $G_n(x,y) = \nabla_x G(x,y).n, \ x \in \Sigma, \ y \in \mathbb{R}^3$  sa dérivée normale sur  $\Sigma$ .

On a la représentation suivante pour  $\phi$  en  $y \in \Omega$ ,

$$\phi(y) = \frac{\mu - 1}{\mu} \int_{\Sigma} g(x) \ G(x, y) \ d\sigma_{x} - \frac{\mu - 1}{\mu} \int_{\Sigma} \phi(x) \ G_{n}(x, y) \ d\sigma_{x}.$$

$$\tag{17}$$



## Formule pour le champ

Alors pour  $y \in \Omega$  le champ  $H_m(y) = -\nabla \phi(y)$  est donné par

$$-\frac{\mu-1}{\mu}\int_{\Sigma}g(x)\,\nabla_{y}G(x,y)\,d\sigma_{x}+\frac{\mu-1}{\mu}\int_{\Sigma}\phi(x)\nabla_{y}G_{n}(x,y)\,d\sigma_{x}.$$
(18)

De même pour  $y\in \complement\Omega$  le champ  $H_m$  est donné par

$$-(\mu-1)\int_{\Sigma} g(x) \nabla_{y} G(x,y) d\sigma_{x} + (\mu-1)\int_{\Sigma} \phi(x) \nabla_{y} G_{n}(x,y) d\sigma_{x}.$$
(19)





On décompose le problème sur le domaine intérieur et extérieur : trouver  $\phi^i \in \mathbb{H}^1(\Omega)$  et  $\phi^e \in \mathbb{W}^1_0(\Omega)$  tels que

$$\begin{cases} \Delta \phi^{i} = 0 & \text{in } \Omega, \\ \Delta \phi^{e} = 0 & \text{in } \Omega, \\ \phi^{e} = \phi^{i} & \text{on } \Sigma, \\ \frac{1}{\mu} \frac{\partial \phi^{e}}{\partial n} - \frac{\partial \phi^{i}}{\partial n} = (\frac{1}{\mu} - 1)g & \text{on } \Sigma. \end{cases}$$
 (20)

On recherche  $\phi^i$  et  $\phi^e$  de la forme

$$\phi^i = \sum_{k=0}^{+\infty} \frac{1}{\mu^k} \phi^i_k \qquad \text{et} \qquad \phi^e = \sum_{k=0}^{+\infty} \frac{1}{\mu^k} \phi^e_k. \tag{21}$$



# Nouvelle formule pour le champ

Pour  $\mu$  dans [10<sup>2</sup>, 10<sup>4</sup>], on vérifie que H peut être approché par

$$H(y) \approx \frac{1}{\mu} H_s(y) + \frac{1}{\mu} \int_{\Sigma} \phi_1^i(x) \nabla_y G_n(x,y) d\sigma_x + \frac{1}{\mu^2} \int_{\Sigma} \left( \phi_2^i(x) - \phi_1^i(x) \right) \nabla_y G_n(x,y) d\sigma_x. \quad (22)$$

Cela donne un moyen pour approcher H dès que  $\phi_1^i$  et  $\phi_2^i$  sont connus.





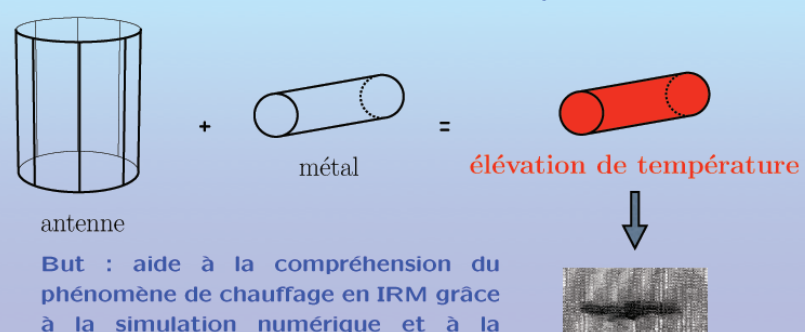
### TAB.: Quelques comparaisons fonction de $\mu$

$\mu$	$\ \boldsymbol{H}\ _2$ exact	$\ \boldsymbol{H}\ _2$ 1 terme	err (%)	$\ H\ _2$ 2 termes	err (%)	
10	0.1835 10 <sup>6</sup>	0.2157 10 <sup>6</sup>	16.2	0.2107 10 <sup>6</sup>	13.8	
10 <sup>2</sup>	0.2316 10 <sup>5</sup>	0.2349 10 <sup>5</sup>	1.4	0.2343 10 <sup>5</sup>	1.2	
10 <sup>3</sup>	0.2378 10 <sup>4</sup>	0.2370 10 <sup>4</sup>	0.32	0.2370 10 <sup>4</sup>	0.32	
10 <sup>4</sup>	0.2384 10 <sup>3</sup>	0.2372 10 <sup>3</sup>	0.50	0.2372 10 <sup>3</sup>	0.50	

modélisation mathématique.

#### La problématique

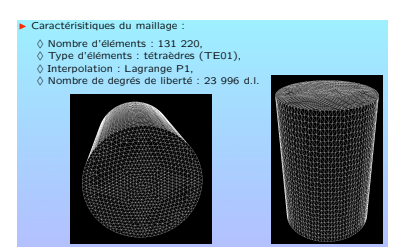
Le champ radiofréquence provoque l'apparition de courants induits dans le métal entraînant une élévation de la température de celui-ci.



brûlure



### Premiers résulats



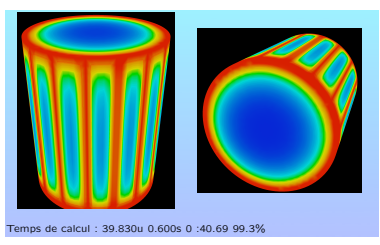


FIG.: Calcul du champ à l'intérieur d'une antenne cage d'oiseau



